

Octyldimethyl p-aminobenzoate와 β -Cyclodextrin의

포접화합물에 관한 연구

이창학 · 소부영 · 김영수

(주) 가양)

A Study on the Inclusion Complexation of Octyldimethyl

p-aminobenzoate with β -Cyclodextrin

Lee Chang-Hak, So Boo-Young, Kim Young-Soo

(Ka Yang Co., Ltd.)

ABSTRACT

Inclusion complex formation of octyldimethyl p-aminobenzoate with β -cyclodextrin in aqueous solution and in the solid state was studied by the solubility method, spectroscopic(UV, FT-IR) and X-ray diffractometry.

The solid complex of octyldimethyl p-aminobenzoate with β -cyclodextrin was obtained in molar ratio of 1:2(guest/host). A spatial relationship between host and guest molecule was clearly reflected in the magnitude of the apparent stability constant (K') and in the stoichiometry of the inclusion complex.

Furthermore, a typical type Bs phase-solubility diagram was obtained for octyldimethyl p-aminobenzoate and β -cyclodextrin in water at 25°C.

The results indicated that the solubility of the guest molecule was higher by the formation of β -cyclodextrin inclusion complex

I . 서 론

Cyclodextrin(이하 CyD)은 "schardinger dextrin" 혹은 "cycloamyllose"라고 불리는 환상 oligo당 동족체이며, 구성단위로 D-glucopyranose 가 환상으로 α -1,4 결합된 것으로서 단위 수가 6, 7, 8개인 것을 각각 α -, β -, γ -CyD 라 통칭한다.

CyD는 1891년 Villiers에 의해 발견되었으며 1) 내산성이고 결정성이 탁월하여 발견 당시에는 cellulosin이라 불리웠다. 그후 Schardinger가 CyD를 생성해 내는 bacillus macerans amylase를 이용하여 α -, β -CyD를 분리해 내어 그에

대한 연구는²⁾ 급속한 진전을 가져왔다. 요오드 및 각종 유기용매와의 복합체 형성작용이 이때 알려지게 되었으나, CyD에 대한 최초의 관심은 구조해명에 국한되었었다.

그러나 구조해명이 용이하지 않아 그후 1950년에 Freudenberg 와 French등의 연구결과³⁾ 현재와 같은 CyD구조를 확립하게 되었고, 이용개발연구가 점차 진전된 것은 1950년 이후였다. Cramer가 색소의 안정화를 보고⁴⁾ 한 다음 포접화합물 형성능을 이용한 연구가 활발하게 행하여졌다. 최근에 이르러 CPC사의 제조법 개발에 따라 CyD의 특이한 구조가 효소모델 혹은 촉매로서 인정되어, 포접현상의 정밀한 해석이 행하여져 다양한 연구결과가 보고되었으나, β -CyD의 난용성 문제와 높은 가격으로 인해 이용면에서는 커다란 진전을 가져오지 못했다가 β -CyD의 생성가격 저하에 대한 노력과 1970년경에 염기성 β -CyD 효소가 발견되어 β -CyD는 상당한 저가로 시판되게 되었으며, 그와 더불어 연구개발에 급속한 진전을 가져오게 되었고⁵⁾, CyD의 특이한 다환상구조로 여러가지 특징적인 물리·화학적 거동을 살피게 되었다. 그 가운데 가장 중요한 특징은 여러 화합물을 CyD 혈내에 끌어들여 안정한 포접화합물을 형성하는 것이다.⁶⁾ 복합체 형성에 의한 여러가지 효과는 CyD분자 (host molecule) 및 포접되는 분자 (guest molecule)에 의해서 유도된다. 즉, 포접되는 분자의 가용화⁷⁾, 안정화⁸⁾, 광안정성의 향상^{9,10)}, 맛의 개선^{11,12)}, 휘발성 억제¹³⁾, 액상물질의 분체화^{14,15)} 및 광학이성체의 분할¹⁶⁾ 등에 응용되고 있다.

이러한 포접화합물은 여러 물리·화학적 방법, 즉 흡수 스펙트라, NMR, DSC, 용해도법등에 의해서 추정할 수 있다. 이들 효과는 host분자—guest분자간의 상호작용에 기반을 둔 것으로 CyD구조와 밀접한 관련을 갖는다.

따라서 본 연구에서는 난용성 물질인 octyldimethyl p-aminobenzoate (이하 ODP)를 선택하여 분체화 및 용해도 변화의 방법으로 β -CyD와의 포접화를 시도했으며, 형성된 ODP와 β -CyD포접화합물은 용해도법, 자외선 흡수 스펙트라, 적외선 흡수 스펙트라 및 X선 회절로 확인하여 수용액 혹은 고체상태에서 guest분자인 ODP와 host분자인 β -CyD의 상호작용에 관한 것을 검토하였다.

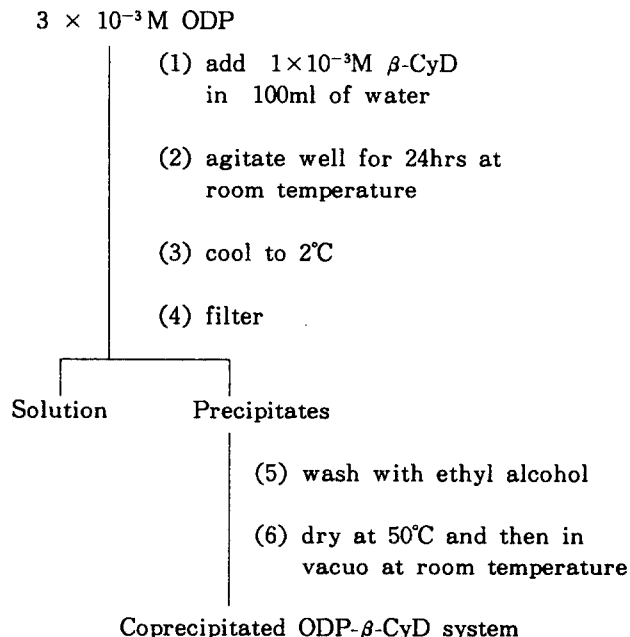
II. 실험 방법

1. 재료 및 기기

본 실험에서 사용한 octyldimethyl p-aminobenzoate는 Van Dyk 사제를 사용하였으며, β -CyD 및 그 밖의 시약류는 Toko Kasei 제 특급 또는 일급시약을 사용하였다. 이들의 녹는점 또는 끓는점 등은 문헌과 잘 일치한다. 자외선 스펙트라는 Shimadzu UV-256, 적외선 스펙트라는 Nicolet-5 SXB 그리고 X선 회절은 Philips-PM 9920을 사용하였다.

2. 고체 포접화합물의 조제

Scheme I 과 같이 Kurozumi 등의 방법¹⁴⁾ 중 포접화합물 조제에 있어 가장 일반적인 공침법으로 행하였다. 즉, 물속에 β -CyD와 ODP의 몰비를 1:3으로 혼합하여 24시간 교반한 후 석출된 침전물을 여과하여 에탄올로 씻고 50°C에서 진공건조하였다.



Schemel. Coprecipitation method

3. 용해도 측정

ODP 일정량을 삼각플라스크에 넣고 $0.2 \sim 5 \times 10^{-3}$ 몰 여러 농도의 β -CyD를 수용액에 첨가하여 평형에 도달할 때까지 25 °C에서 48 시간 진탕하였다. 이 용액을 Millipore filter(0.45 μm, type HA)로 여과한 후 10 배량의 물로 회석시킨 수용액을 314 nm에서 흡광도를 측정하여 미리 작성된 검량선으로부터 농도를 구하였다. 이 결과를 Fig. 1에 도시하였다.

4. 안정도상수의 산출

Higuchi 등¹⁷⁾의 방법에 의해 용해도상도 (phase solubility diagram)의 초기상승직선 부분의 흥배 및 절편으로부터 겉보기 안정도상수 K' 를 식(1)에 의해 산출하였다.

(1)식에서 St, Lt는 각각 ODP 및 CyD의 첨가농도, So는 ODP의 용해도, 흥배 및 절편은 각각 용해도상도의 초기상승직선 부분의 흥배 및 절편값을 나타낸다. 이 결과는 Table 1에 표시하였다.

5. 포접 화합물의 ODP 학량 측정

Tokumura의 방법 18)에 의하여 다음과 같이 실험하였다. 즉, 포접화합물 약 50mg을 정청하여 50% (v/v) isopropanol에 용해시켰다. 314nm에서 이 용액의 흡광도를 구하고, 미리 작성된 점량선으로부터 ODP농도를 구했다. 이것으로부터 평량된 포접화합물 중의 ODP 함량을 산출하였다. 이 결과를 Table 2에 표시하였다.

6. 자외선 흡수 스펙트라

II-2의 방법에 의하여 조제된 ODP 와 β -CyD 와의 고체 포집화 합물과 단독 ODP 에

대한 것을 Shimadzu UV - 256으로 측정한 스펙트라는 Fig.2에 도시하였고, 수용액 중에서는 일정한 량의 ODP와 2×10^{-3} , 4×10^{-3} 및 6×10^{-3} 몰의 β -CyD 농도를 변화시켜 자외선 스펙트라를 행하였다. 이때 생성된 스펙트라는 Fig.3에 일괄하여 도시하였다.

7. 적외선 흡수 스펙트라

KBr disk method로 ODP, β -CyD 및 ODP와 β -CyD의 물리적 혼합물과 그의 고체 포집화합물을 각각 시료로서 측정하였다. 이 결과는 Fig.4 및 Fig.5에 각각 도시하였다.

8. 분말 X선 회절분석

분말 X선 회절분석은 β -CyD, ODP와 β -CyD의 물리적 혼합물 및 그의 고체 포집화합물을 각각 시료로 하여 측정하였으며, X-ray는 Cu-K α radiation, full scale 400 CPS (count / sec), scanning 속도 2°/ min, chart 속도 2 cm / min로 하여 측정하였다. 이 결과는 Fig.6에 일괄하여 도시하였다.

III. 결과 및 고찰

1. ODP의 용해도에 미치는 β -CyD의 영향

ODP와 β -CyD 사이의 혼합계에 있어서 용해도상도 (phase-solubility diagram)는 Fig.1과 같다. 이는 Higuchi¹⁷⁾ 등의 분류에 따른 용해도상도중에서 난용성 복합체를 형성하는 전형적인 Bs 형이다. ODP와 β -CyD계의 용해도상도에서 β -CyD농도가 증가함에 따라 초기 용해도가 직선적으로 증가한다. 이는 초기의 둑은 수용액에서 ODP와 β -CyD가 1:1 몰비로 복합체를 형성함을 추정할 수 있다. 그 결과 ODP의 용해도는 물에서의 ODP 용해도보다 β -CyD와 혼합계에서 1.4배 증가한다. 이와같이 ODP와 β -CyD의 혼합계에서의 용해도 변화는 ODP와 β -CyD 와의 복합체 형성에 기인하는 것으로 사료된다. 그후 계속적으로 β -CyD의 농도를 증가시키면 ODP의 용해도가 변화하지 않는 일정한 평행이 나타나며, 더욱 β -CyD 농도를 증가시키면 용해도 곡선이 점차 감소한다. 이러한 현상은 고

체 포접화합물형성으로 용해도가 감소됨을 추정할 수 있다. Bs형의 용해도상도가 얻어지면 하강곡선 부분에서 복합체의 분류 및 조제설정이 가능하게 되며^{19,20)} 그 중에서도 Bs형의 평행영역 해석에 의해 포접화합물의 조성 몰비를 화학량론적으로 산출할 수 있다.²¹⁾

Fig.1을 통해 ODP와 β -CyD의 화학량론적 결합비가 1:2 몰비로 고체 포접화합물이 형성됨을 알 수 있다. 이와같은 Bs형을 나타내는 guest분자는 β -CyDHell내에서 안정한 포접체를 형성하며, 고체포접화합물로의 분리도 용이한 것으로 알려져⁶⁾ 있는 것과 거의 일치하였다.

Table 1은 용해도상도로부터 구한 ODP의 용해도(S_0)와 겉보기 안정도상수(K')값을 나타내었다. 겉보기 안정도상수(K')는 용해도상도의 초기상승곡선에서 구했으며, 그 값이 클수록 안정된 포접체를 형성하므로 ODP와 β -CyD의 포접체의 경우 매우 안정된 복합체가 형성됨을 추정할 수 있다.

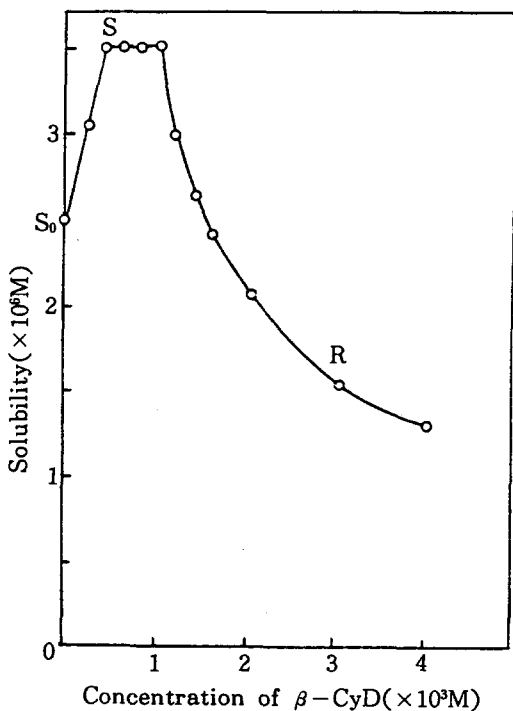


Fig. 1. Phase-solubility diagram of ODP- β -CyD system in water at 25°C

2. ODP의 포접량

II - 2의 방법 즉, 공침법으로 조제된 ODP와 β -CyD의 포접화합물 중 ODP 함량 %

Table 1. Apparent stability constant(K' , M⁻¹) and type of solubility.

Curve of ODP- β -CyD complex system determined by solubility method

Temperature °C	S ₀ (M)	Type ^{a)}	Apparent stabi – lity constant, K'
25	2.5×10^{-6}	B _s	1002

a) The type of phase-solubility diagram was defined according to Higuchi et al.¹⁷⁾

및 ODP와 β -CyD의 결합 몰비 포접화합물의 함량을 Table 2에 나타내었다. 이들 ODP 함량 및 결합 몰비, 포접화합물 함량은 아래와 같은 식(2) 및 (3)에 의해 산출되었다.

$$\text{몰비} ; \text{ODP} : \beta\text{-CyD} = 1 : \frac{(100 - [C]) / 1135}{[C] / 277} \quad (2)$$

이때 [C]는 ODP의 백분율의 함량이다. 그리고 포접화합물 함량 [Ci] :

$$[Ci] = [C] \times \frac{(277 + 1135 \times 2)}{277} \quad (3)$$

공침법에 의해 조제된 고체 포접화합물은 ODP와 β -CyD의 결합 몰비가 1:1.9가 되었으며, 이는 용해도상도에 의해 구한 ODP와 β -CyD의 침전물인 고체 포접화합물의 결합 몰비인 1:2와 잘 일치함을 알 수 있다.

Table 2. Amount of ODP included by β -CyD by the coprecipitation method

Content of ODP (%)	Content of inclusion compound (%)	Molar ratio (ODP : β CyD)
10.92	100.4	1 : 1.99

3. 자외선 흡수 스펙트라

Fig. 2는 공침법에 의해 조작된 ODP와 β -CyD의 고체 포집화합물의 자외선 스펙트럼과 단독 ODP의 자외선 스펙트럼을 비교하여 나타내었다. 또한 Fig. 3은 수용액중에서 일정한 양의 ODP와 ODP에 일정한 몰비로 β -CyD 농도를 변화시킴으로 인한 자외선 스펙트라의 변화를 나타내었다. Fig. 2, 3의 자외선 스펙트라에 의하면 β -CyD의 농도가 높아짐에 따라 molar 흡광도가 감소하였다. 이는 β -CyD의 혈내에 ODP가 포집됨으로서 ODP의 전자운동이 속박되는 것으로 사료된다.

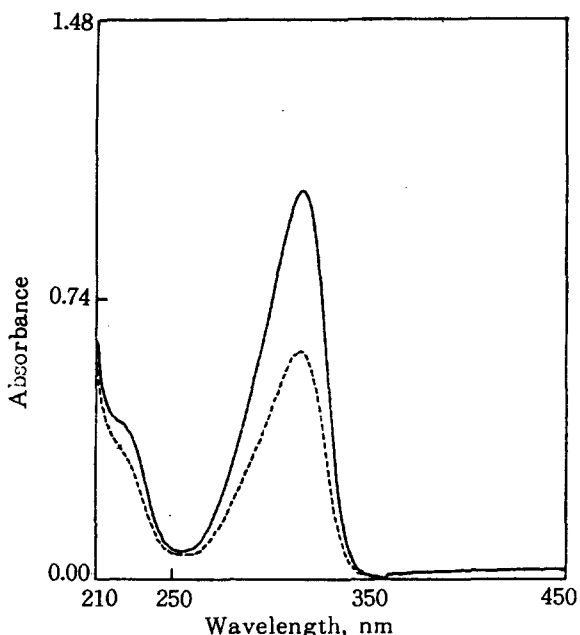


Fig. 2. UV absorption spectra of ODP β -CyD system
key : — ODP
..... complex of ODP with β -CyD

4. 적외선 흡수 스펙트라

Fig. 4 및 5는 ODP 및 β -CyD, 또한 ODP와 β -CyD를 물리적 혼합 및 II-2의 방법으로 조제된 고체 포집화합물의 적외선 흡수 스펙트라를 나타낸 것이다.

ODP 와 β -CyD의 혼합물의 스펙트럼은 ODP 및 β -CyD의 적외선 흡수 스펙트럼 각각에 대한 피크가 겹쳐진 형태로 나타난다. 그러나 고체 포접화합물의 적외선 스펙트럼은 혼합물의 스펙트럼과 상이한 새로운 형태를 나타내고 있다.

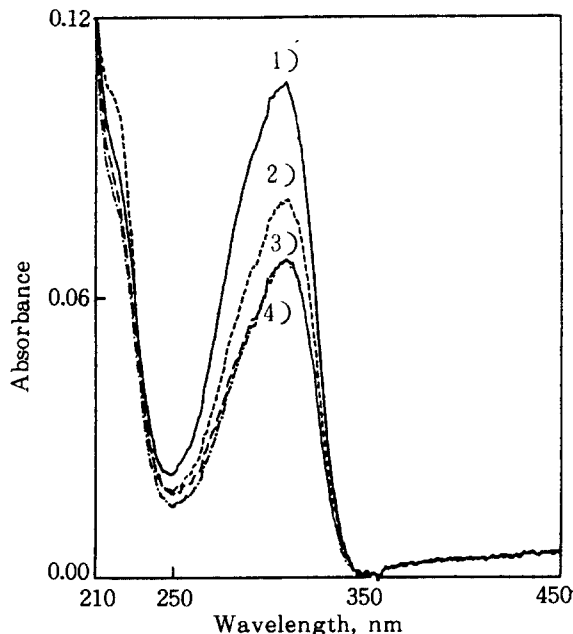


Fig. 3. UV absorption spectra of ODP (3.6×10^{-4} M) and its β -CyD systems in water

key : 1) ODP alone 2) ODP + β -CyD (2×10^{-3} M)
 3) ODP + β -CyD (4×10^{-3} M) 4) ODP + β -CyD (6×10^{-3} M)

ODP 와 혼합물의 스펙트라에서는 $1,350 \text{ cm}^{-1}$ 에 monosubstituted alkane 기가, $1,200 \text{ cm}^{-1}$ 부근에 tertiaryamine 기의 피크가 명백히 나타난데 반하여, 포접화합물의 경우는 피크가 완전히 나타나지 않고 다만, $1,730 \text{ cm}^{-1}$ 부근에 카르보닐기의 stretching vibration이 포접화합물의 스펙트럼에서는 그대로 나타나 있다.

이 결과로 미루어 보아 ODP 가 β -CyD에 의해서 ODP 분자중 카르보닐기를 좌우로 하여 포접된 것으로 추정된다.

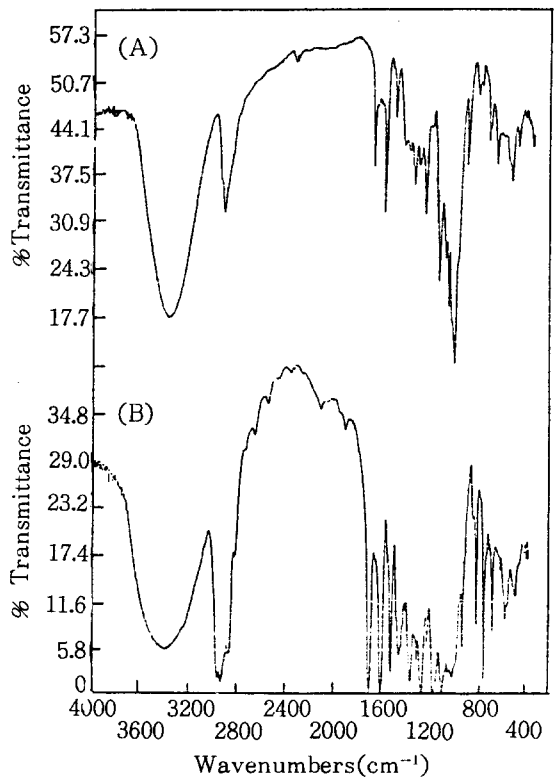


Fig. 4. IR absorption spectra of ODP- α -CyD according to KBr disk method

(A) complex of ODP with β -CyD

(B) Physical mixture of ODP and β -CyD

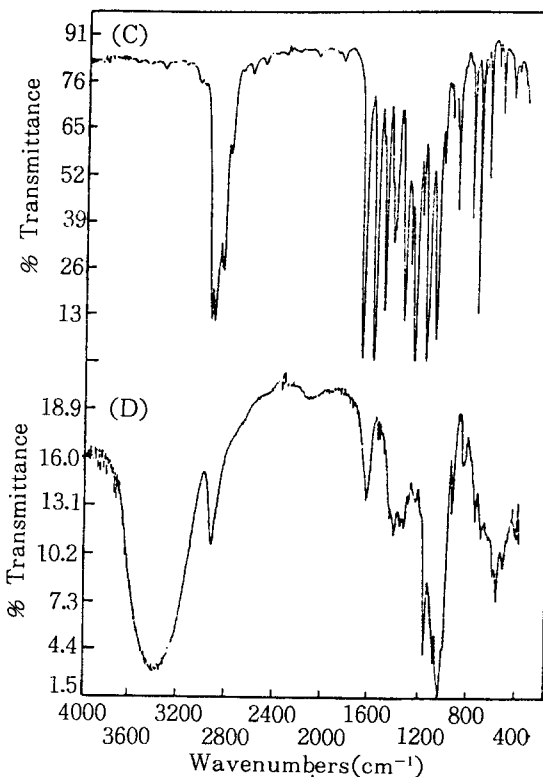


Fig. 5. IR absorption spectra of ODP- β -CyD according to KBr disk method

(C) ODP

(D) β -CyD

5. 분말 X선 회절

Fig. 6은 β -CyD 및 ODP와 β -CyD의 물리적 혼합물 또한 ODP와 β -CyD의 고체 포집화합물을 비교한 것이다. 포집화합물의 X선 회절 pattern은 물리적 혼합물의 경우와 비교할 때 결정성이 현저히 약해졌다. 또한 포집화합물의 X선 회절 pattern은 β -CyD 회절 pattern과 거의 유사했다. 이는 ODP가 무정형의 β -CyD에 포집됨으로서 결정성이 약해지기 때문이라 사료된다.

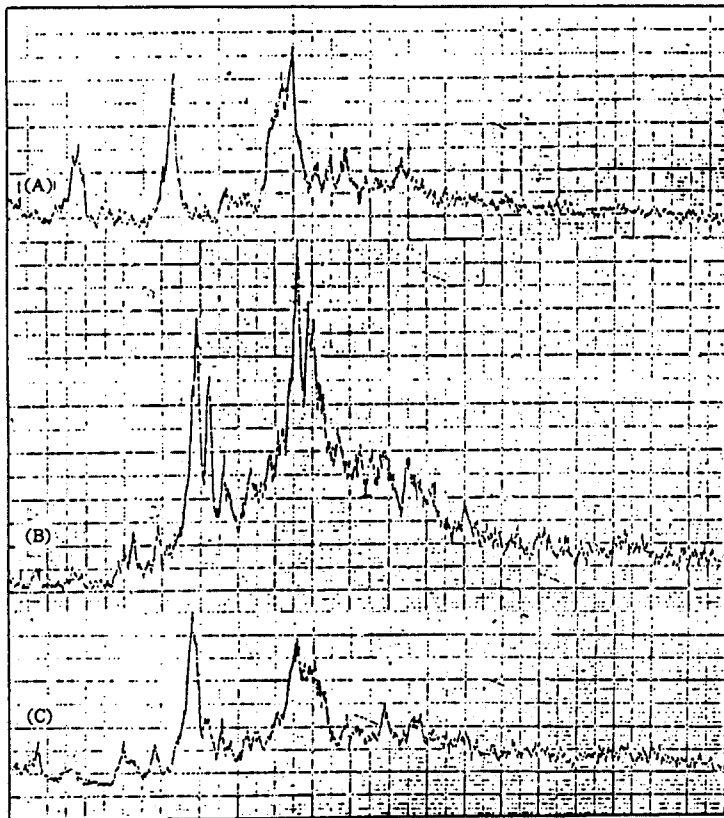


Fig. 6. X-ray diffraction pattern of ODP- β -CyD system

- (A) complex of ODP with β -CyD
- (B) physical mixture of ODP and β -CyD
- (C) β -CyD

IV. 결 론

guest 분자인 ODP 와 host 분자인 β -CyD 와의 포접화합물에 관한 연구에서 다음과 같은 결론을 얻었다.

1. 용해도법에 의하여 수용액중의 륨은 농도 영역에서 host 와 guest 분자 사이에 1:1 몰비로 안정한 포접화합물이 형성되는 것으로 추정되며, 포접화합물 형성으로 ODP

용해도가 1.4 배 증가하였다.

2. 고체 포접화합물의 1:2 몰비 (ODP : β -CyD)로 ODP 분자가 β -CyD 분자의 혼내에 포접된다.

3. 공침법에 의해 조제된 고체 포접화합물은 자외선 흡수 스펙트라, 적외선 흡수 스펙트라, X선 회절의 분석에 의해 포접화합물임을 확인하였다.

REFERENCES

1. Villiers, A., Compt. rend., **112**, 536(1981).
2. Schardinger, F. and Untersuch, Z., Nahr. U. Genussm., **6**, 865(1903).
3. French, D., Advan. Carbohydrate Chem., **12**, 189(1957).
4. Cramer, F., Chem. Ber., **84**, 851(1951).
5. Kuge, T. and Takeo, K., Agr. Biol. Chem., **36**, 2615 (1972).
6. Uekama, K., Yakugaku zasshi, **101**(10), 857(1981).
7. Ikeda, K. and Uekama, K., Chem. Pharm. Bull. **23**(1), 201(1975).
8. Lach, J.L. and Chin, T.F., J. pharm. Sci., **53**, 69(1964).
9. Ikeda, Y. and Matsumoto, K., Yakugaku Zasshi, **102**(1), 83(1982).
10. Hibi, T. and Fatsumi, M., ibid., **104**(9), 990(1984).
11. Uekama, K., and Ikeda, Y., ibid., **100**(1), 994(1980).
12. Fujioka, K. and Kuroasaki, Y., Chem. Pharm. Bull., **31**(7), 2416(1983).
13. Ikeda, Y. and Matsumoto, K., Yakugaku Zasshi, **102**(1), 82(1982).
14. Kurozumi, K. and Nambu, N., Chem. Pharm. Bull., **23**(12), 3032(1972).
15. Uekama, K. and Hirayama, F., J. Pharm. Sci., **68**, 1059(1979).
16. Cramer, F., Angew. Chem., **64**, 136(1952).
17. Higuchi, T. and Connors, K.A., Adv. Anal. Chem. Instr., **4**, 117(1965).
18. Tokumura, T. and Tsushima, Y., Yakuzaisgaku, **45**(1), 1(1985).
19. Uekama, K. and Fujinaga, T., Inter. J. Pharm., **10**, 1(1982).
20. Seo, H. and Suruaka, M., Chem. Pharm. Bull., **31**, 286(1983).
21. Higuchi, T. and Lach, J.L., J. Amer. Pharm. Assoc. Sci. Ed., **43**, 349(1954).